

УДК 597.9:591.53

К ФИЛОГЕОГРАФИИ И ТАКСОНОМИИ ЦЕНТРАЛЬНОАЗИАТСКИХ УГЛОЗУБЫХ (AMPHIBIA, HYNOBIIIDAE)

© 2008 г. С. Л. Кузьмин¹, Н. А. Поярков², С. Цзэн³

¹Институт проблем экологии и эволюции РАН, Москва 119071, Россия
e-mail: ipe51@yahoo.com

²Биологический факультет Московского государственного университета, Москва 119899, Россия

³Институт биологии Китайской АН, Чэньду 610041, Китай

Поступила в редакцию 16.02.2007 г.

Проанализированы данные по молекулярной генетике 26 видов углозубых из 7 родов. Генетическая дифференциация варьирует по филетическим линиям углозубых, что, очевидно, связано с разной скоростью эволюции генома. Генетически реофильные горные углозубы, по-видимому, дифференцируются быстрее, чем морфологически. Причиной может быть сходство адаптаций к стабильной среде горных ручьев Центральной Азии, ставших рефугиями для этих реликтовых видов в условиях аридизации климата. *Ranodon*, *Pseudohynobius*, *Liua* и *Paradactylodon* признаются отдельными родами. Род *Ranodon* – монотипический с видом *R. sibiricus*, казахстанские и синьцзянские популяции которого генетически очень сходны, что свидетельствует о генетической мономорфности вида. *Pseudohynobius* включает номинальные виды *P. flavomaculatus* s. str., *P. shuichengensis* и несколько форм неопределенного статуса; род *Liua* – виды *L. shihi* и *L. tsinpaensis*. Род *Paradactylodon* содержит *P. mustersi*, *P. persicus* и, вероятно, *P. gorganensis*. Возможно, *P. mustersi* относится к отдельному подроду или роду, а видовой статус *P. gorganensis* требует подтверждения. Морфологические признаки недостаточны для выделения видов и родов реофильных углозубых, что может быть связано с параллельной эволюцией в стабильной среде горных ручьев Центральной Азии.

Хвостатые земноводные из примитивного семейства углозубых (Hynobiidae) широко распространены в Восточной Палеарктике, достигая максимального разнообразия видов в горах Центрального и Южного Китая. До недавнего времени считалось, что роды *Ranodon* и *Batrachuperus* образуют дизъюнктивные ареалы в горах Центральной Азии, на запад доходя до севера Ирана. Для *Ranodon sibiricus* Kessler, 1866 это Джунгарский Алатау в Казахстане и Синьцзяне, для *B. mustersi* Smith, 1940 – Пагман, Афганистан, для *B. persicus* Eiselt et Steiner, 1970 и *B. gorganensis* Clergue-Gazeau et Thorn, 1979 – Эльбурс, Иран (рис. 1). Лишь недавно (Zeng, 2004; Zhang et al., 2006) молекулярно-генетический анализ показал родовую самостоятельность трех последних форм и позволил отнести их к роду *Paradactylodon*. Выяснилась также их близость к *Ranodon sibiricus*, которого до недавнего времени сближали с китайскими *Liua shihi* (Liu, 1950), *Pseudohynobius tsinpaensis* (Liu et Hu, 1966) и *P. flavomaculatus* (Hu et Fei, 1978), обитающими в горах южного Китая. При широком понимании рода *Ranodon*, указанные китайские виды в соответствии с морфологией могут быть помещены в него (Kuzmin, Thiesmeier, 2001). Недавние исследования (Zeng, 2004; Zhang et al., 2006) выявили генетическую близость *P. tsinpaensis* и *L. shihi*.

Учитывая неясную ситуацию с филогенетическими связями рассматриваемых форм и давние дискуссии об их систематическом положении, целесообразно проанализировать их генетическую дифференциацию в контексте морфологии и распространения.

МАТЕРИАЛ И МЕТОДЫ

Материал. Изучены образцы тканей всех обсуждаемых форм из Китая, Казахстана, Афганистана и Ирана, кроме *B. persicus*. Для корректной оценки положения видов в системе использованы данные по 26 видам из 7 родов Hynobiidae. Помимо оригинальных материалов, в анализ были включены последовательности фрагмента гена цитохрома В различных Hynobiidae, опубликованные ранее (коды последовательностей в GenBank NCBI database: <http://www.ncbi.nlm.nih.gov/entrez>).

Выделение ДНК. Для выделения ДНК брали образцы мышечной ткани (хвосты, конечности, язык) или печени. Тотальную геномную ДНК выделяли из замороженной, свежей или фиксированной в 96%-ном этаноле ткани с использованием SDS-протеиназы К/Фенол-хлороформной методики (Hillis et al., 1996; Palumbi, 1996). Для ряда образцов выделение ДНК также осуществлялось с помощью наборов *Diatom DNA-Prep* (IsoGen). Объем выделенной ДНК на образец составлял

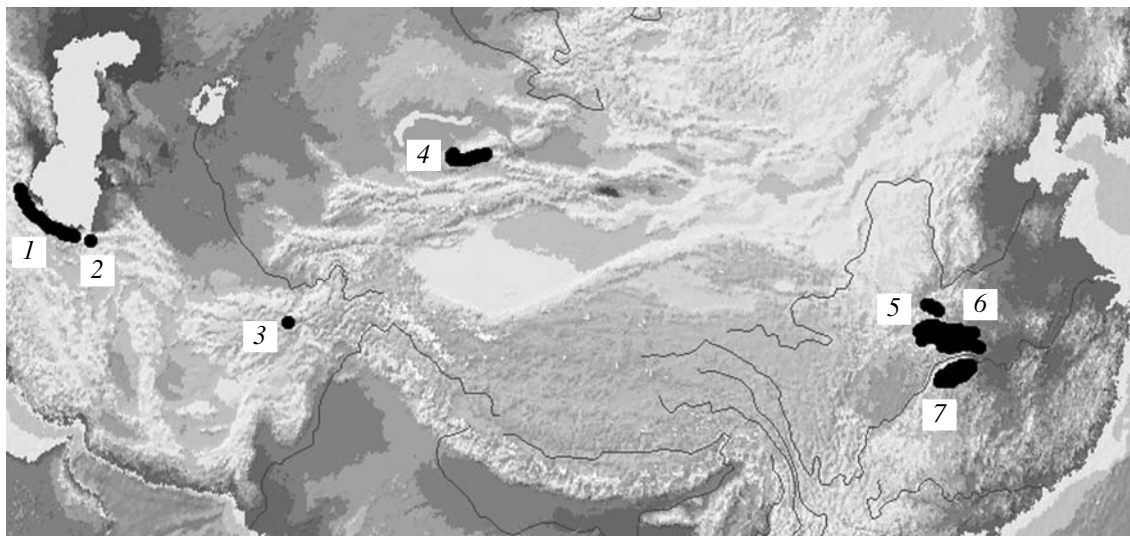


Рис. 1. Ареалы углозубых: 1 – *Paradactylodon persicus*, 2 – *P. gorganensis*, 3 – *P. mustersi*, 4 – *Ranodon sibiricus*, 5 – *Liua tsinpaensis*, 6 – *L. shihi*, и 7 – *Pseudohynobius* spp. (названия даны в соответствии с результатами настоящего исследования).

100 микролитров (мкл). Тотальная ДНК подвергалась электрофорезу в агарозном геле с бромистым этидием и визуализировалась в УФ свете в присутствии отрицательного и положительного контроля. Концентрация ДНК определялась на спектрофотометре по стандартной методике.

ПЦР и секвенирование. Для амплификации фрагмента гена цитохрома-В использованы модифицированные праймеры – прямой MVZ15 (5' GAA СТА АТГ GCC САС АСА/Т А/ТТА СGT/А ААА/Т 3') и обратный MVZ16 (5' ААА TAG GAA А/GT/АА ТТА Т/СТС/Т TGG ТТТ А/GA/GT 3'), основанные на праймерах, разработанных для безлегочных саламандр семейства Plethodontidae (Moritz et al., 1992) и успешно примененных ранее к углозубам рода *Batrachuperus* (Fu et al., 2001). Амплификация проводилась с использованием *Gene Pack* (IsoGen, RF) *Taq*-ДНК-полимеразы. Полимеразная цепная реакция (ПЦР) шла в общем объеме смеси 20 μ л при следующих условиях: после денатурации (92°C на 3 мин) следовали 35 циклов (денатурация – 92°C на 30 с; отжиг праймеров – 45–49°C на 45 с; элонгация – 72°C на 60 с). Фрагменты гена цитохрома В визуализировались на электрофорезе в УФ свете в присутствии отрицательного и положительного контроля. Концентрацию ампликонов определяли на спектрофотометре по стандартной методике. Продукты ПЦР-реакции очищали с использованием набора PCR-purification kit (Millipore, Bedford, MA, USA). Секвенирование фрагмента цитохрома В проводили на автоматическом секвенаторе ABI 377 (P.E., USA) с использованием набора Big-Dye Ready-Reaction kit (P.E., USA). Для реакции ПЦР при секвенировании всегда использовали прямой (MVZ15) праймер, в тех случаях, когда была получена корот-

кая последовательность ампликона, реакцию ставили вторично с обратным праймером (MVZ 16).

Анализ последовательностей ДНК. Полученные последовательности фрагмента гена цитохром В просматривались в программе Chromas v. 1.45, после чего выравнивались вручную в программе BioEdit v. 5.0.9. Построение дендрограмм по алгоритму ближайшего соседа на основе генетических дистанций по Кимура (Kimura, 1980) проводили в программах TreeCon v. 1.3b и TreeView v. 1.6.6 (Saitou, Nei, 1987). При этом последовательность цитохрома В китайской гигантской саламандры (*Andrias davidianus*, Сryptobranchidae) служила внешней группой. Надежность ветвей оценивалась бут-стрэп (boot-strap) анализом (1000 реплик). Для построения кладограмм по методу максимального правдоподобия (maximum parsimony) (Nei, 1987) применяли пакет программ Mega 3 (Kumar et al., 2005).

РЕЗУЛЬТАТЫ

Изученные материалы выявили разделение семейства Hynobiidae на две основные клады: *Onychodactylus* и все остальные формы (рис. 2). *Onychodactylus fischeri* делится на две четкие клады, соответствующие популяциям из Приморья и популяциям из Китая и Кореи. По-видимому, они составляют два отдельных таксона. В ряду других углозубых наиболее базальное положение занимает *Salamandrella*, а среди остальных – роды *Paradactylodon* (афганский и иранские “*Batrachuperus*”) + *Ranodon*; далее располагаются *Pseudohynobius*, *Hynobius*, *Pseudohynobius*, *Liua* и *Batrachuperus*.

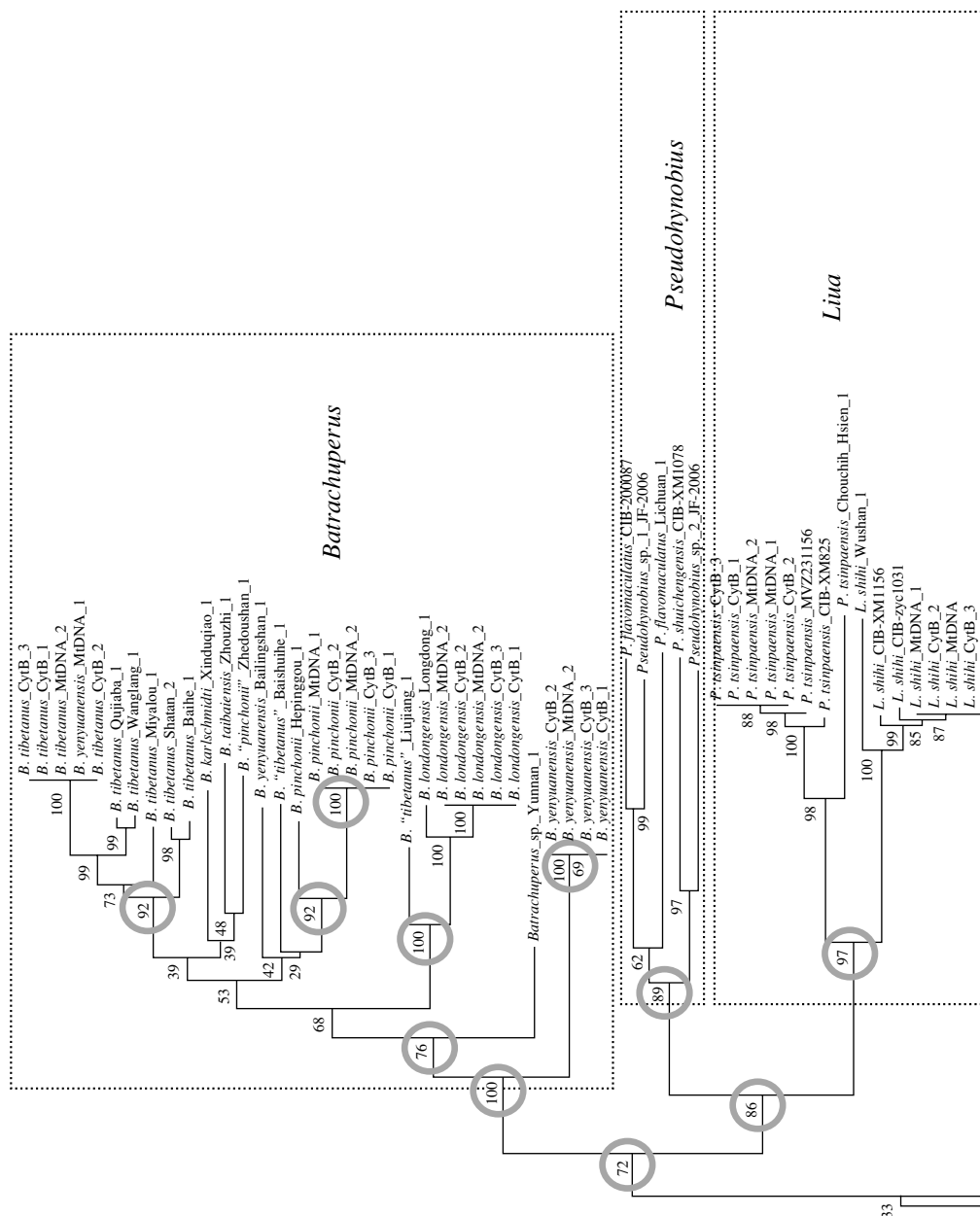


Рис. 2. Кладограмма филогенетических взаимоотношений представителей семейства Hynobiidae, построенная по данным последовательностей цитохрома В (митохондриальная ДНК). Кружками выделены узлы с высоким значением бут-стрэп поддержки (более 75%).

Изученные популяции *Ranodon sibiricus* из Казахстана и Синьцзяна почти не различаются генетически (рис. 2). Роды *Ranodon* и *Paradactylodon* образуют четко выделенную кладу (уровень бут-стрэп поддержки 97%). Дивергенция этих двух родов незначительна (бут-стрэп поддержка 52%). В то же время, группа *Ranodon* – *Paradactylodon* генетически ближе к номинативному роду семейства (*Hynobius*), чем к западно-китайским родам *Liua* и *Pseudohynobius*, которые объединяются в хорошо разрешенную кладу (BS 72%) с китайскими видами *Batrachuperus*. *Pseudohynobius flavomac-*

ulatus и недавно выявленные новые таксоны (*P. shuichengensis* и один или два неописанных) сильнее отличаются от “*Pseudohynobius*” *tsinpaensis*, чем последний от *Liua shihi*. “*Pseudohynobius*” *tsinpaensis* и *L. shihi* образуют хорошо разрешенную кладу. Клада, включающая популяции *Pseudohynobius flavomaculatus*, *P. shuichengensis* и неописанные таксоны *Pseudohynobius*, плохо разрешена, но имеет высокий уровень бут-стрэп поддержки (BS 89%). Ареалы “*Pseudohynobius*” *tsinpaensis* и *Liua shihi* перекрываются; *Pseudohy-*

Таблица 1. Диагностические признаки родов *Ranodon* и *Liua* (по: Zhao, 1994)

Признак	<i>Ranodon</i>	<i>Liua</i>
Отверстие между предчелюстными костями	Есть	Есть
Ряды сошниковых зубов	В двух разделенных сериях между хоанами, но не за ними	В двух разделенных прямоугольных или остроугольных сериях (у личинки в двух коротких, слегка косых сериях), начинающихся от уровня середины хоан и продолжающихся далеко за них
Губная складка	Отсутствует; граница верхней челюсти прямая или слегка изогнутая (личинка с губной складкой)	Хорошо развита в течение всей жизни
Роговые покрытия на ладонях и стопах	Нет	Есть
Диплоидный набор хромосом ($2n$)	66	64
Среда обитания вне периода размножения	В основном суша	В основном вода

nobius flavomaculatus и сестринские формы аллопатричны.

ОБСУЖДЕНИЕ

Ranodon, *Pseudohynobius* и *Liua*

Указываются (Fei, Ye, 1983) следующие основные отличия *Pseudohynobius* от *Ranodon*: отверстие между предчелюстными костями больше; череп шире; ряд сошниковых зубов короткий, его внутренняя вершина начинается от внутренней границы нёбно-сошниковой кости; 7–17 сошниковых зубов в каждом ряду; слезная кость касается ноздри и касается или не касается орбиты; 11–13 костальных борозд. Для *Liua* и *Ranodon* приводятся следующие различия (Zhao, Hu, 1983, 1988): ороговевшие ладони, ступни и пальцы; наличие губной складки; губная складка в форме арки; на горле имеются продольные бороздки; ряд сошниковых зубов простирается вперед, за пределы внутренней ноздри; челюстная и предчелюстная кости образуют трапециевидный край; носовая кость треугольная; язык вытянутый; икрной мешок короче (менее 100 мм), равен половине длины тела взрослого; общая длина полностью развитой личинки составляет примерно 0.7 общей длины взрослой особи. Однако было показано (Huang et al., 1993), что перечисленные различия не достигают родового уровня. В ответ на эту критику Чжао (Zhao, 1994, 1995) уделил особое внимание *R. sibiricus* и привел ревизованные диагнозы родов *Ranodon* и *Liua*. В табл. 1 показаны морфологические признаки, разделяющие эти два рода.

Морфологически род *Pseudohynobius* ближе к *Ranodon*, чем к *Liua*, генетически – напротив, ближе к *Liua*, чем к *Ranodon*. Большинство призна-

ков, используемых в морфологических диагнозах каждого из этих родов, присутствует и у какого-либо другого или варьирует в пределах других родов *Hynobiidae* (Kuzmin, Thiesmeier, 2001). Форма и расположение рядов сошниковых зубов представляется наиболее существенным морфологическим отличием *Liua* от *Pseudohynobius* и *Ranodon*. Учитывая, что сошники в ходе онтогенеза углозубых все более выгибаются (Лебедкина, 1964), можно предположить, что данный признак у *Ranodon* и *Pseudohynobius* в сравнении с *Liua* представляет пedomорфное состояние. Не исключено, что другие различия этих форм в морфологии костей черепа, пропорциях тела и степени развитости губной складки также носят пedomорфный характер. Ороговения на конечностях *Liua*, четко отличающие ее от остальных обсуждаемых форм, не являются устойчивым родовым признаком в пределах *Hynobiidae*: например, у одних видов *Batrachuperus* они присутствуют, у других – нет.

Основные разногласия в таксономии “*Ranodon*” *flavomaculatus*, *tsinpaensis*, *shisi* и *sibiricus* (табл. 2) основаны на придании разной значимости морфологическим признакам, используемым как диагностические (подробнее см.: Kuzmin, Thiesmeier, 2001). При широком понимании рода *Ranodon*, родовые морфологические признаки всех форм *Liua* и *Pseudohynobius* будут соответствовать родовому диагнозу *Ranodon* (Kuzmin, Thiesmeier, 2000, 2001). Этот диагноз соответствует тому, который предложил для *Ranodon* Кесслер (Kessler, 1866), автор описания этого рода и его типового вида.

Однако молекулярно-генетический анализ свидетельствует против этого: *Ranodon* не является даже сестринским родом *Pseudohynobius* и *Liua*,

Таблица 2. Таксономическое положение *Ranodon*, *Pseudohynobius* и *Liua*

Вид	по: Fei et al., 2006	по: Zhao and Adler, 1993
<i>Hynobius shihi</i>	Младший синоним <i>Ranodon shihi</i> (Liu, 1950)	Младший синоним <i>Liua shihi</i> (Liu, 1950)
<i>H. flavomaculatus</i>	Младший синоним <i>Pseudohynobius flavomaculatus</i> (Fei et Ye, 1982)	Младший синоним <i>Ranodon tsinpaensis</i> Liu et Hu, 1966
<i>Liua shihi</i>	Младший синоним <i>Ranodon shihi</i> (Liu, 1950)	Валидное название
<i>L. wushanensis</i>	Не упоминается; очевидный младший синоним <i>Ranodon shihi</i> (Liu, 1950)	Не упоминается; очевидный младший синоним <i>Liua shihi</i> (Liu, 1950)
<i>Pseudohynobius flavomaculatus</i>	Валидное название	Младший синоним <i>Ranodon tsinpaensis</i> Liu et Hu, 1966
<i>P. tsinpaensis</i>	Валидное название	Не упоминается; очевидный младший синоним <i>Ranodon tsinpaensis</i> Liu et Hu, 1966
<i>Ranodon shihi</i>	Валидное название	Не упоминается; очевидный младший синоним <i>Liua shihi</i> (Liu, 1950)
<i>R. sibiricus</i>	Валидное название	Валидное название
<i>R. tsinpaensis</i>	Младший синоним <i>Pseudohynobius tsinpaensis</i> (Liu et Hu, 1966)	Валидное название
<i>R. wushanensis</i>	Младший синоним <i>Ranodon shihi</i> (Liu, 1950)	Младший синоним <i>Liua shihi</i> (Liu, 1950)

Примечание. Все эти виды были условно объединены в род *Ranodon* s.l. (Kuzmin, Thiesmeier, 2001).

которые, в свою очередь, образуют общую, хотя и четко разделенную кладу. По-видимому, генетическая дивергенция этих трех родов происходила быстрее, чем морфологическая – явление, известное у бесхвостых земноводных (например, у бурых лягушек, см. Matsui et al., 1993). Возможно, в данном случае такое несовпадение связано с накоплением мелких генетических изменений при сходстве общих адаптаций к условиям стабильной среды обитания: *Ranodon*, *Pseudohynobius* и *Liua* – горные реофилы, приспособленные к жизни в прибрежной зоне ручьев.

Род *Pseudohynobius* парафилетичен: “*Pseudohynobius*” *tsinpaensis* примыкает к *Liua shihi*, а *Pseudohynobius flavomaculatus* образует дискретную кладу с остальными *Pseudohynobius*. Это согласуется и с кариологическими данными: $2n = 52$ у *P. flavomaculatus*, $2n = 66$ у *R. tsinpaensis*, *L. shihi* и *R. sibiricus* (Ikebe et al., 2000; Kuro-o et al., 2000; Zhang et al., 2006). Полученные нами результаты подтверждают опубликованный ранее вывод о том, что виды *tsinpaensis* и *shihi* относятся к одному роду, и мы принимаем их объединение в род *Liua* (Zhang et al., 2006). Род *Pseudohynobius* четко выражен, но входящие в него виды образуют плохо разрешенную кладу (Zeng, 2004; наши данные). В обеих работах таксоны внутри рода *Pseudohynobius* кластеризуются по-разному. Наряду с небольшим числом выборок, это обстоятельство пока не позволяет определить точный видовой состав рода. Однако типовым видом следует считать *P. flavomaculatus* s. str. Кроме того, четко выделяется *P. shuichengensis*. Роды *Pseudohynobius* и

Liua генетически ближе к *Batrachuperus*, чем к остальным Hynobiidae.

Ranodon и *Paradactylodon*

Наши данные подтверждают ранее сделанный вывод (Zhang et al., 2006) о том, что наиболее западные виды семейства Hynobiidae – *Paradactylodon mustersi* (Пагман) и *P. gorganensis* (Эльбурс) наиболее близки к *R. sibiricus* (Джунгарский Ала-тау) не только географически, но и генетически. Они образуют единую группу, далекую от рода *Batrachuperus*. При этом в пределах каждого узкоареального вида разные географические популяции генетически очень сходны. В то же время, *P. mustersi* и *P. gorganensis* образуют общую кладу с весьма низким уровнем сходства (BS 52%). Следовательно, хотя эти виды более родственны друг другу, чем роду *Ranodon*, они существенно различаются генетически, что может говорить о длительной изоляции. Поэтому не исключено, что *P. mustersi* относится к отдельному подроду или роду.

В связи с этим, интересно отметить следующее. В отличие от семиреченского *R. sibiricus* и иранских *Paradactylodon*, у афганского *P. mustersi* был замечен полиморфизм числа пальцев задних конечностей (4–5: Д.Б. Вэйк, личное сообщение). Следовательно, *P. mustersi* занимает как бы промежуточное положение между иранскими и семиреченскими формами по данному признаку, а не только географически. Кариологически последний вид сходен с иранским *P. gorganensis* ($2n = 62$: Stoeck, 1999). В свою очередь, второй иранский вид – *P. persicus*, не использованный в нашем ис-

следовании, населяет тот же горный хребет, и карриологически и морфологически очень близок к *P. gorganensis*. Есть основания сомневаться в том, что это разные виды, а не случай клинальной изменчивости (Stoeck, 1999). Если последнее будет подтверждено генетически, то всех иранских углозубых надо будет считать одним видом, а название *P. gorganensis* рассматривать в качестве младшего синонима *P. persicus*.

Интересно, что по сравнению с представителями родов *Ranodon*, *Liua* и *Pseudohynobius* формы *Paradactylodon* и *Batrachuperus* демонстрируют пedomорфные состояния ряда признаков (большее количество неокостеневающих элементов скелета черепа и гиобранхиального аппарата, структура небо-сошниковых серий зубов, меньшее количество пальцев задних конечностей и т.д.). Морфологическое сходство *Paradactylodon* с *Batrachuperus*, с которым его раньше объединяли в один род, связано с теми же причинами, что и в случае с *Ranodon*, *Liua* и *Pseudohynobius*, а именно – со сходством адаптаций к стабильной среде непересыхающих горных ручьев. По-видимому, глубокое морфологическое сходство ручьевых форм центральноазиатских и переднеазиатских углозубых может объясняться параллелизмами, приводящими к пedomорфной фиксации близких стадий онтогенеза. Очевидно, аридизация климата Центральной Азии привела к формированию дизъюнкций в сплошном ареале Hynobiidae. Выживание оказалось возможным только для форм, отступивших в горные рефугии, где они нашли стабильные условия в ручьевых биотопах.

На основании изложенного выше можно сделать следующие выводы.

Генетическая дифференциация варьирует по филетическим линиям углозубых, что, очевидно, связано с разной скоростью эволюции генома. Генетическая дифференциация реофильных горных углозубых, по-видимому, происходит быстрее морфологической. Причиной этого может быть сходство адаптаций к стабильной среде горных ручьев Центральной Азии, ставших рефугиями для этих реликтовых видов в условиях аридизации климата. В связи с этим, морфологические признаки недостаточны для выделения видов и родов реофильных углозубых. *Ranodon*, *Pseudohynobius*, *Liua* и *Paradactylodon* являются отдельными родами, при этом *Ranodon* – монотипический род с видом *R. sibiricus*. Так как казахстанские и синьцзянские популяции *R. sibiricus* очень сходны, можно заключить, что *R. sibiricus* – генетически мономорфный вид. Род *Pseudohynobius* включает номинальные виды *P. flavomaculatus* s. str., *P. shuichenensis* и несколько форм неопределенного статуса; род *Liua* содержит два вида – *L. shihi* и *L. tsinpaensis*; род *Paradactylodon* – *P. mustersi*, *P. persicus* и, вероятно, *P. gorganensis*. Видовой статус по-

следнего требует подтверждения. Не исключено, что *P. mustersi* относится к отдельному подроду или роду.

БЛАГОДАРНОСТИ

Авторы искренне благодарны Б.Д. Васильеву, Д.Б. Вэйку, М.В. Холодовой, Э.В. Андагулову, А.А. Банниковой, Х. Валлайсу, Е.А. Дунаеву, К. Ицзука, Л.В. Капитоновой, А.А. Колесникову, Н.Н. Колобаеву, М. Куро-о, С.М. Ляпкову, И.В. Масловой, А.Д. Пояркову, Ю.С. Равкину, И.А. Сербиновой, У.В. Симаковой, Н.А. Формозову и Е. Яну за пробы тканей углозубых, обсуждение вопросов их эволюции и экологии.

СПИСОК ЛИТЕРАТУРЫ

- Лебедкина Н.С., 1964. Развитие покровных костей основания черепа хвостатых амфибий сем. Hynobiidae // Морфология позвоночных животных. М.–Л. С. 75–172.
- Fei L., Hu Sh., Ye Ch., Huang Y., et al., 2006. Fauna sinica. Amphibia. V. 1. Beijing: Sci. Press. 471 p. (на кит. яз.).
- Fei L., Ye C., 1983. Study of the systematics of Hynobiidae, including the diagnosis of the new genus *Pseudohynobius* // Acta Herpetol. Sinica. V. 2. № 4. P. 31–37 (на кит. яз.).
- Fu J., Wang Y., Zeng X., Liu Z., Zheng Y., 2001. Genetic diversity of eastern *Batrachuperus* (Caudata: Hynobiidae) // Copeia. V. 101. № 4. P. 1100–1107.
- Hillis D.M., Moritz C., Mable B.K. (Eds.), 1996. Molecular Systematics. Sinauer Associates Publ. 655 p.
- Huang Y., Fei L., Ye C., 1993. On the taxonomic problem of the genus *Liua* Zhao et Hu // Acta Herpetol. Sinica (Guiyang). № 1–2. P. 53–57 (на кит. яз.).
- Ikebe Ch., Kuro-o M., Wu G., Zeng X., Kohno S., 2000. Cytogenetic studies of Hynobiidae (Urodela) XVI. Comparative C-banded karyotype analysis of *Pseudohynobius flavomaculatus* (Fei et Ye), *Ranodon shihi* (Liu) and *Batrachuperus pinchonii* (David) // Chromosome Research. V. 8. P. 267–272.
- Kessler K.F., 1866. Beschreibung eines neuen Wassermolches aus West-Sibirien // Bul. Imp. Soc. Nat. de Moscou. T. 39. P. 126–131.
- Kimura M., 1980. A simple method for estimating evolutionary rate of base substitutions through comparative studies of nucleotide sequences // J. Molec. Evol. № 16. P. 110–120.
- Kumar S., Tamura K., Jakobsen I.B., Nei M., 2005. MEGA3: Molecular Evolutionary Genetics Analysis Software. Tempe, Arizona: Arizona State Univ.
- Kuro-o M., Ikebe C., Wu G., Zeng X., Kohno S., Obara Y., 2000. Analysis of highly repetitive DNA in Chinese salamanders // Bul. Herpetol. Soc. Japan. P. 48 (на яп. яз.).
- Kuzmin S.L., Thiesmeier B., 2001. Mountain salamanders of the genus *Ranodon* // Advances in Amphibian Res. in the f. Soviet Union. V. 6. Sofia-Moscow: Pensoft. 176 p.
- Kuzmin S.L., Thiesmeier B., 2000. Revised diagnosis of the genus *Ranodon* (Hynobiidae) // 4th Asian Herpetol. Conf.: Progr., Abstr., Address Book. Chengdu. P. 99.

- Matsui M., Wu G., Song M., 1993. Morphometric comparisons of *Rana chensinensis* from Shaanxi with three Japanese brown frogs (genus *Rana*) // Jap. J. Herpetol. V. 15. № 1. P. 29–36.
- Moritz C., Schneider C.J., Wake D.B., 1992. Evolutionary relationships within the *Ensatina eschscholtzii* complex confirm the ring species interpretation // Syst. Biol. V. 41. P. 273–291.
- Nei M., 1987. Molecular Evolutionary Genetics. N.-Y: Columbia Univ. Press, 300 p.
- Palumbi S.R., 1996. Nucleic acids II: the polymerase chain reaction // Molecular Systematics. Synderland. Mass. P. 205–247.
- Saitou N., Nei M., 1987. The neighbor-joining method: a new method for reconstructing phylogenetic trees // Mol. Biol. Evol. V. 4. P. 406–425.
- Stoek M., 1999. On the biology and the taxonomic status of *Batrachuperus gorganensis* Clergue-Gazeau et Thorn, 1979 based on topotypic specimens (Amphibia: Caudata: Hynobiidae) // Zool. Abh. Staatl. Mus. Tierk. Dresden. Bd. 50. H. 14. S. 217–241.
- Zeng X., 2004. The phylogenetic study of western hynobiids in China. Ph. D. Thes. East China Univ. 132 p. (на кит. яз.)
- Zhang P., Chen Y., Zhou H., Liu Y., Wang X., et al., 2006. Phylogeny, evolution and biogeography of Asiatic salamanders // Proc. Natn. Acad. Sci. V. 103. № 19. P. 7360–7365.
- Zhao E., 1994. A study on vomerine teeth pattern of the genus *Liua* and *Ranodon* (Caudata: Hynobiidae) // Sichuan J. Zool. V. 13. № 4. P. 162–167 (на кит. яз.).
- Zhao E., 1995. On the validity of the genus *Liua*, with revised diagnoses of *Liua* and *Ranodon* // Abstr. 2nd Herpetol. Meet. Ashgabat. P. 65.
- Zhao E., Adler K., 1993. Herpetology of China. Oxford (Ohio): Soc. for the Study of Amphibians and Reptiles. 521 p.
- Zhao E., Hu Q., 1983. Taxonomy and evolution of Hynobiidae in Western China, with description of a new genus // Acta Herpetol. Sinica. New Ser. V. 2. № 2. P. 29–35 (на кит. яз.). 1988. Taxonomy and evolution of Hynobiidae in Western China, with description of a new genus // Studies on Chinese Salamanders. Ohio. P. 55–61.

ON PHYLOGEOGRAPHY AND TAXONOMY OF CENTRAL ASIAN HYNOBIIDAE (AMPHIBIA)

S. L. Kuzmin¹, N. A. Poyarkov², X. Zeng³

¹Institute of Ecology and Evolution, Russian Academy of Sciences, Moscow 119071, Russia
e-mail: ipe51@yahoo.com

²Faculty of Biology, Moscow State University, Moscow 119899, Russia

³Institute of Biology, Academia Sinica, Chengdu 610041, P.R. China

The data on molecular genetics of 26 species of 7 genera of Hynobiidae were analyzed. The genetic differentiation varies by Hynobiidae phyletic lineages, probably, due to different rates of genome evolution. The genetic differentiation of mountain brook-type Hynobiidae seems to occur more rapidly than the morphological differentiation. A reason for this phenomenon may be a similarity of adaptations to the stable environment of mountain brooks in Central Asia representing refugia for these relic species under conditions of aridization. *Ranodon*, *Pseudohynobius*, *Liua*, and *Paradactylodon* are accepted as separate genera. The genus *Ranodon* is monotypic with the species *R. sibiricus*. Populations of *R. sibiricus* in Kazakhstan and Xinjiang (China) were similar genetically. Evidently, this species is genetically monomorphic one. The genus *Pseudohynobius* includes nominal species *P. flavomaculatus* s. str., *P. shuichengensis*, and several forms of uncertain status. The genus *Liua* includes two species: *L. shihi* and *L. tsinpaensis*. The genus *Paradactylodon* includes *P. mustersi*, *P. persicus*, and, probably, *P. gorganensis*. *P. mustersi* appears to belong to a separate subgenus or genus. The species status of *P. gorganensis* needs confirmation. Morphological characters are insufficient to identify species and genera of rheophilous Hynobiidae due to their parallel evolution under stable environmental conditions in mountain streams of Central Asia.